

Tabelle IV c

Faktionszerlegungen des Abstreiferproduktes vom Benzinierungsöfen
Abstreiferprodukt vom 21.4. 1942

Fraktionen	Gew. %	Spez. Gew. + 15°	A.P. I	A.P. II	Aromaten
- 75	15,1	-	-	-	-
75 - 100	6,8	0,752	+ 35,6	+ 45,3	9,7
100 - 120	7,0	0,788	+ 20,2	+ 50,9	30,7
120 - 140	7,1	0,818	+ 9,7	+ 52,9	42,2
140 - 160	14,6	0,832	+ 8,8	+ 53,6	45,8
160 - 180	27,6	0,852	+ 8,3	+ 50,5	42,2
180 - 200	12,8	0,874	+ 5,3	+ 48,8	43,5
> 200	8,7	0,904	+ 4,5	-	-
Verlust	0,3	-	-	-	-

Abstreiferprodukt vom 24.4. 1942

- 75	11,9	-	-	-	-
75 - 100	8,2	0,750	+ 35,2	+ 48,3	16,0
100 - 120	3,7	0,787	+ 20,5	+ 49,7	32,0
120 - 140	7,7	0,812	+ 13,7	+ 51,4	39,5
140 - 160	13,0	0,830	+ 7,7	+ 52,7	46,0
160 - 180	26,4	0,850	+ 7,2	+ 50,7	45,0
180 - 200	15,7	0,872	+ 4,5	+ 48,8	46,0
200 - 225	8,9	0,892	+ 2,2	+ 50,7	49,0
> 225	3,9	0,920	- 0,3 ber.	-	-
Verlust	0,5	-	-	-	-

Abstreiferprodukt vom 28.4. 1942

- 75	14,6	-	-	-	-
75 - 100	7,2	0,753	+ 35,7	+ 48,3	15,0
100 - 120	7,6	0,775	+ 26,8	+ 49,6	26,0
120 - 140	6,8	0,805	+ 13,2	+ 52,3	42,0
140 - 160	13,8	0,829	+ 7,3	+ 54,1	47,5
160 - 180	22,9	0,845	+ 9,8	+ 51,9	43,5
180 - 200	15,8	0,867	+ 8,2	+ 50,2	43,5
> 200	10,7	0,905	- 5,9 ber.	-	-
Verlust	0,6	-	-	-	-

972

Tabelle IV A

Untersuchungen des Benzins und des c-Mittelöles aus dem Abstreiferprodukt der Benzinierung.

Benzin - 170°				Mittelöl > 170°			
Datum	21.4.42	24.4.42	28.4.42	Datum	21.4.42	24.4.42	28.4.42
Spez.Gew./15°	0,790	0,786	0,786	Spez.Gew./15°	0,874	0,873	0,872
A.P. I	+ 21,8	+ 21,7	+ 22,6	A.P. I	+ 5,7	+ 5,0	+ 6,3
A.P. II	+ 51,3	+ 51,4	+ 51,8	Jodzahl	7,5	3,2	3,2
Cu-Streifen	gut	gut	gut	Heizwert cal.	10 003	10 024	10 025
Doktorrest	negativ	negativ	negativ	Verbrennungswärme cal.	10 633	10 564	10 569
Dampfdruck	0,239	0,257	0,252				
Jodzahl	5,8	2,5	2,5				
Heizwert cal.	10 251	10 187	10 169				
Verbr.wärme cal.	10 948	10 867	10 880				
Oktanzahlen:							
Research	85,5	85,5	85,5				
Motor	75,0	75,5	75,0				
" + 0,12 % Pb	87,5	88,0	87,5				
Siedeanalyse				Siedeanalyse			
A.S.T.M.				100 cm³ Engler			
S.B. °C	50	54	52	S.B. °C	180	177	174
- 60°	1,5	~1,5	1,0	- 180°	2,0	3,0	
- 70°	3,5	5,0	4,5	200	67,0	67,0	71,0
- 80°	8,5	13,0	9,0	225	91,5	91,0	94,0
- 90°	15,5	19,0	15,0	250	97,5	96,0	
- 100°	23,0	25,5	24,0	E.R. °C / %	253/98,5	256/98,0	241/98,5
- 110°	31,0	34,0	31,0	Rü	1,2	1,6	1,0
- 120°	39,0	43,0	40,0	Verl.	0,3	0,4	0,2
- 130°	48,0	51,0	48,0				
- 140°	57,0	62,5	58,0	Elementaranalyse			
- 150°	67,0	79,0	70,0	C	88,12	88,09	87,97
- 160°	86,0	88,0	82,5	H	11,66	11,86	11,93
- 170°	95,0	96,5	93,5	O	0,19	0,00	0,07
E.P. °C / %	175/97,0	175/98,5	180/98,0	N	< 0,01	< 0,01	< 0,01
Rü	1,3	1,2	1,2	S	< 0,01	0,04	< 0,01
Verl.	1,7	0,5	0,8	Cl	< 0,01		
Ausammensetzung:							
Paraffine	25,5	26,0	24,5				
Naphthenes	41,5	41,0	43,0				
Aromaten	32,5	32,5	32,0				
Ungesättigte	ca. 0,5	0,5	0,5				
Elementaranalyse							
C	86,92	87,32	86,87				
H	12,90	12,67	12,16				
O	0,15	0,05	0,00				
N	< 0,01	< 0,01	< 0,01				
S	< 0,01	< 0,01	< 0,01				
Cl	< 0,01	< 0,01	< 0,01				

Restbenzinuntersuchung des 6434-Benzins
vom 24.4.42

Produkt:	Gesamt- produkt	Restbenzin Raffinat	Extrakt
Gew.%		61,0	33,5
Spez.Gew. / 15°C	0,786	0,728	0,874
A.P. I	+ 21,7	+ 50,8	- 50,2
A.P. II	+ 51,4	+ 52,0	
<u>A.S.T.M. Kurve</u>			<u>Podbielniak-Dest.</u>
S.B. °C	54	53	Vorlauf -,- %
- 60°	1,5	2,0	Benzol 3,4 %
- 70	6,0	7,0	Zwischenfr. 1,6 %
- 80	13,0	15,0	Toluol 13,0 %
- 90	19,0	26,0	Zwischenfr. 2,8 %
- 100	25,5	35,0	Xylol 29,4 %
- 110	34,0	43,0	höh. Aromaten 43,4 %
- 120	43,0	51,5	Verlust 1,4 %
- 130	51,0	60,0	
- 140	62,5	65,5	
- 150	79,0	74,5	
- 160	88,0	86,0	
- 170	96,5	96,0	
E.P. °C / %	175/98,5	176/98,8	
Rückstand	1,2	1,0	
Verlust	0,3	0,2	
<u>Zusammensetzung</u>			
Paraffine	26,0	38,0	
Naphthene	42,0	60,0	
Aromaten	32,5	1,5	
Ungesättigte	0,5	0,5	
<u>Klopfwerte O.Z.</u>			
Motor		68,8	
" + 0,12 % Pb		86,0	

86,0

Untersuchungen des Gesamtstreifens

Datum	21.4.42	24.4.42
Spez. Gew. / 15°	0,828	0,836
A.P. I	+ 10,4	+ 8,9
A.P. II	+ 48,5	+ 49,0
Aromaten %	40,0	42,0
Jodzahl	8,2	
Heizwert cal.	13 122	10 679
Verbr. Wärme cal.	10 759	10 720
Siedeanalyse:		
100 cm³ Engler		
S.B. °C	48	42
- 50°	0,5	0,8
- 70	3,0	3,0
- 100	9,0	9,0
- 125	15,0	17,5
- 150	24,0	28,0
- 160	30,5	33,0
- 170	45,0	45,0
- 180	59,0	61,0
- 200	82,0	81,0
- 225	90,5	91,0
- 250	92,0	94,0
E.P. °C / %	254/94,0	257/96,0
Rückstand	1,2	1,4
Verlust	4,8	2,5
2 kg Zerlegung		
Bi - 170° stab.	41,6	42,5
M'61 - 170°	51,6	50,8
Verlust	6,3	6,7
Elementaranalyse		
C	83,06	87,92
H	11,80	11,99
O	0,11	0,04
N	< 0,01	0,01
S	< 0,01	0,03
Cl	< 0,01	< 0,01

Faktionszerteilung des Gesamtabstreifens

Gesamtabstreichprodukt vom 21.4.42

Faktionen	Gew.%	Spes.Gew.15°	A.P.I.	A.P.II	Aromaten %
- 75°	9,6	-	-	-	-
75 - 100	5,5	0,760	+ 33,0	+ 47,2	17,0
100 - 120	2,9	0,785	+ 24,2	+ 49,2	22,0
120 - 140	5,0	0,808	+ 15,8	+ 52,1	39,0
140 - 160	11,4	0,830	+ 9,0	+ 52,6	45,0
160 - 180	29,7	0,855	+ 1,0	+ 49,4	49,0
180 - 200	18,6	0,880	- 5,2 ber.	+ 45,3	57,5
200 - 225	9,6	0,902	- 6,6 "	+ 49,3	59,5
> 225	5,9	0,930	+ 11,7	+ 54,1	39,4
Verlust	0,5	-	-	-	-

Gesamtabstreichprodukt vom 24.4.42

Faktionen	Gew.%	Spes.Gew.15°	A.P.I.	A.P.II	Aromaten %
- 75	10,6	0,669	-	-	-
75 - 100	5,3	0,766	+ 29,4	+ 66,4	22,0
100 - 120	-	-	-	-	-
120 - 140	9,2	0,802	+ 17,2	+ 50,5	36,0
140 - 160	10,1	0,834	+ 8,1	+ 52,8	46,0
160 - 180	28,1	0,848	+ 2,0	+ 50,1	47,5
180 - 200	25,1	0,885	- 5,0 ber.	+ 47,0	58,0
> 200	11,3	0,925	- 1,8 "	-	-
Verlust	0,5	-	-	-	-

916

Tabelle V c

Untersuchung des Benzins und Mittelloles aus dem Gesamtabstreifer

	Benzin			Mittelöl	
Datum	21.4.42	24.4.42	Datum	21.4.42	24.4.42
Spez.Gew./15°	0,792	0,796	Spez.Gew./15°	0,894	0,890
A.P. I	+ 27,7	+ 19,2	A.P. I	- 1,8 ber.	- 4,3 ber.
A.P. II	+ 50,8	+ 50,7	Jodzahl		
Cn-Streichen	gut	angegriften	Heizwert cal.	10 002	9 901
Boktor test	negativ	negativ	Verbr.wärme cal.	10 618	10 523
Dampfdruck:	0,190	0,179			
Jodzahl	6,2				
Klopfwerte					
CZ - Research	67,5	55,0			
" Motor	75,0	74,0			
" Motor + 0,12 Pb	86,0	86,0			
Heizwert cal.	10 218	10 150			
Verbr.wärme cal.	10 920	10 844			
Siedeanalyse			Siedeanalyse		
A.E.T.M.			100 cm ³ Engler		
S.B. °C	52	56	S.B. °C	177	178
+ 60°	1,0		- 180	2,5	2,0
- 70	3,0	3,0	200	60,0	63,5
- 80	7,0	7,0	225	85,0	86,0
- 90	11,0	11,0	250	94,0	92,5
- 100	16,0	16,5	275	98,0	97,5
- 110	23,0	23,0	E.F. °C / %	275/98	280/98
- 120	30,0	30,0	Rückstand	1,3	1,8
- 130	38,0	39,0	Verlust	0,2	0,2
- 140	47,0	49,0			
- 150	65,0	60,0			
- 160	82,0	79,0			
- 170	94,0	93,0			
Rückstand	1,2	1,3	C %	88,49	88,57
Verlust	0,8	0,8	H %	11,41	11,52
Zusammensetzung			O %	0,07	0,00
Paraffine	27,0	25,5	N %	< 0,01	< 0,01
Naphthenes	46,0	41,5	S %	< 0,01	0,014
Aromaten	26,5	34,5	Cl %	< 0,01	< 0,01
Ungesättigte	0,5	0,5			
Elementaranalyse					
C %	87,01	87,04			
H %	13,00	12,87			
O %	0,00	0,06			
N %	< 0,01	< 0,01			
S %	< 0,01	< 0,01			
Cl %	< 0,01	< 0,01			

Festbenzinuntersuchung des Gesamtabstreichbenzins
vom 24.4.1942

Produkt	Gesamt- produkt	Restbenzin Raffinat	Extrakt
Gew. %		64,9	35,0
Benz. Gew. / 15°C	0,796	0,767	0,876
A. P. I. °	+ 19,2	+ 49,7	- 55,8
A. P. II °	+ 50,7	+ 51,3	
<u>A. S. T. M. Kurve</u>			
S. Z. °C	56	52	
- 60	-	3,0	
- 70	3,0	4,0	
- 80	7,0	9,5	
- 90	11,0	17,0	
- 100	16,5	25,0	
- 110	23,0	32,0	
- 120	30,0	40,5	
- 130	39,0	49,0	
- 140	49,0	57,0	
- 150	60,0	69,5	
- 160	79,0	84,5	
- 170	93,0	94,0	
B. P. °C / %	177/95,0	176/97,5	
Rückstand	1,2	1,1	
Verlust	0,3	1,4	
<u>Zusammensetzung</u>			
Paraffine	23,5	37,5	
Naphthena	41,5	60,0	
Aromaten	34,5	2,0	
Ingesättigte	0,5	0,5	
<u>Motorwerte : OB</u>			
Motor		67,4	
" + 0,12 Pb		82,8	

978

Tabelle VI

Zusammensetzung der Gesamtvergasung aus zugesetzter Veraschung

	Vol.%	Gew.%
C ₁ H ₂	0,04	0,02
C ₁ N ₂	0,2	0,2
C ₂ H ₂	0,4	0,4
C ₂ H ₄	3,5	2,1
C ₂ H ₆	5,3	3,6
C ₃ H ₈	19,8	16,5
C ₄ H ₁₀ norm.	26,8	30,9
C ₄ H ₁₀ iso	45,1	45,2
C ₄ H ₁₀ O ₂	61,0	61,6 % von Gesamt C ₄
Mittelwert Gew. Veraschung	3,56	

Tabelle VII

Technologische Bedingungen und -ergebnisse beim Fahren des DHD-Rückstandes im Gemisch mit b-Mittelöl 1:1 über Kat 5/34

481 1942	2.	3.	5.	6.	7.
Gesamtdruck	270	=	=	=	=
Mittlere Ofentemp. AT	19	20,5	20,7	20,7	20,7
Durchsatz: kg/Std. Kat. und h	0,63	0,68	0,75	0,85	0,75
Ofentemp.: °C/kg und h	4,28	3,98	3,60	3,26	3,60
Kühlgas: m³/kg und h	0,055	0,18	0,07	0,50	0,18
Arzengas: m³/kg und h	0,535	0,57	0,80	0,84	0,68
Einspeisung: Spez.Gew./15°C	0,916	0,916	0,900	0,906	0,891
A.P. I °C	-33	-20	-12,2	-14	-6,8
S.B. °C	148	17	163	168	172
- 200°C	44	44	46	40	55
- 225°C	70	66	76	76,5	85
E.P. °C / %	512/93,5	327/98	305/95	238/97	263/92
Abstreifernprodukt					
Spez.Gew./15°C	0,556	0,613	0,629	0,804	0,799
A.P. I	+ 4,5	+ 9,6	+ 7,7	+ 13,9	+ 15,5
A.P. II	+ 50,5	+ 50,7	+ 51,0	+ 51,6	+ 52,5
Aromaten %	46	41	45,5	39,5	38,5
S.B. °C	57	34	41	40	32
- 100°C	13	18	20	19	18,5
- 150°C	22,5	38,5	31	45	40,0
- 170°C	41,5	58,5	48	50	61,4
- 200°C	74	77	70,5	78	79
E.P. °C / %	265/95	260/92	255/94,5	248/91,5	245/91
Rausch: Spez. Gew./50°C	0,775	0,766	0,776	0,760	0,770
A.P. I °C	+ 20,3	+ 22,8	+ 21,9	+ 25	+ 25,9
A.P. II	+ 51,7	+ 51,7	+ 51,8	+ 52,7	+ 53
Aromaten %	31,5	29	31	30,5	29
S.B. °C	32	31	31	32	35
- 70°C	12,5	15	11	16,5	17,5
- 100°C	31	34	23	37	36
- 170°C	93	91	81	89,5	87,5
E.P. °C / %	174/95	178/93,5	174/95	178/92,5	177/92,5
Mittelöl					
Spez. Gew.	0,896	0,898	0,894	0,888	
A.P. I	- 6,6	- 9,8	- 4,1		
S.B. °C	177	184	174	184	162
- 200°C	49,5	37,0	43,0	46,0	48,0
- 225°C	82,0	78,0	80,0	82,0	84,0
E.P. °C / %	284/98	289/98,5	285/98	280/90,5	269/98,5

10000VA

LIVINGSTON
VOLKSBALLEN 6854-30-00
(8313-6515)

LL. State
VOLKSBALLEN 6854-30-00
Technische

3.4. 95, 15	- 2.620	0.19	0.746	0.16
A. 1. 7.	17.7	01.7	23.0	26.2
A. 3. 11.	43.4	31.4	50.7	52.2
A. 5. 18. 25.				
G. 1. 26.		54	56	46
	72.4	6.0	3.0	0.0
	100.0	18.0	21.0	25.0
	100.0	23.0	30.0	37.0
	100.0	45.0	60.0	74.0
	17.0	55.5	79.0	93.0
H. 2. 14.	11.425	175.025	177.93	179.97
	1.0	1.0	1.2	1.1
	1.0	0.92	0.9	1.0
E.		2.2	2.5	2.1
	4.0	2.5	3.0	2.5
	4.0	2.5	3.0	2.5
	0.0	0.5	0.5	0.5
		0.5	0.5	0.5
2.5. 1995				
G. 2. MOGL	T.	75	74	75
		76.5	73	76

60.5 65.2

10000VA Postbeam

10000VA
Postbeam
Technische

981

Untersuchung der 15 Überlagerungsverfahren geprüften Probe

Sonder-Amt KF 916 362 und 914 033 vom 5.5.1942

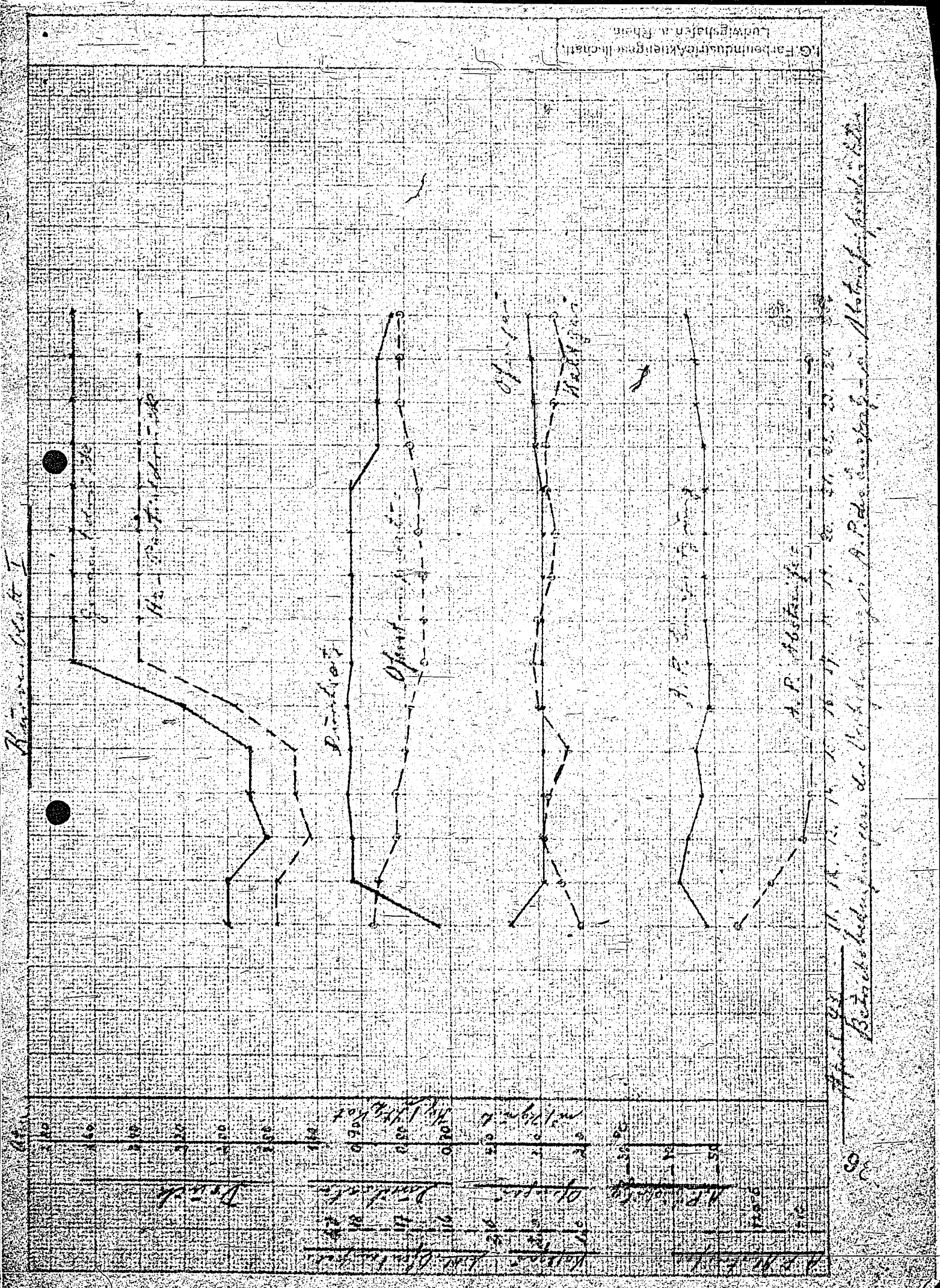
Satz. Gew. / 25°C	0,776
A.P. I °C	+ 26,2
A.P. II °C	+ 52,2
Oil-Schreif	gut
Oil-Schmelz	1,0 ab
Dekoloration	negativ
Ungesättigte S.	keine
Jodzahl	5,0
Bruchfestigkeit	0,6
Bruchdehnung bei 20°C	1,4375
Dehnfestigkeit	0,629
Elastizitätsmodul	

Dehnfestigkeit	85
Höchst	97
Dehnfestigkeit	75
Bruchdehnung	89
Bruchdehnung	89
Ungesättigte S.	39
Jodzahl	42
Aromaten	49
Unsättigungen	59

Bruchdehnung bei 45°C

Temperatur	Dehnung
- 50°C	2,0
- 40°C	3,0
- 30°C	5,0
- 20°C	12,0
- 10°C	25,0
- 0°C	32,0
+ 10°C	38,0
+ 20°C	48,0
+ 30°C	58,0
+ 40°C	69,0
+ 50°C	88,0
+ 60°C	94,0
E.P. - 175°C	57,0
Reckfestigkeit	1,2
Verlust	1,8

982



Blatt 6

Techn. Prüfstand Oppau

Blatt 6

Klopfgrenzkurven nach dem Überladeverfahren

Motormuster: BMW 132 N

Verdichtungsverhältnis: 1:6,5

Motornummer:

Ladelufttemperatur: 130°

Versuchstag:

Zündzeitpunkt: 30° v. o. T.

1. Prüfkraftstoff: 6762 H, Br.2489

Versuch Nr.: 398

2. Prüfkraftstoff: CV2b-RLM

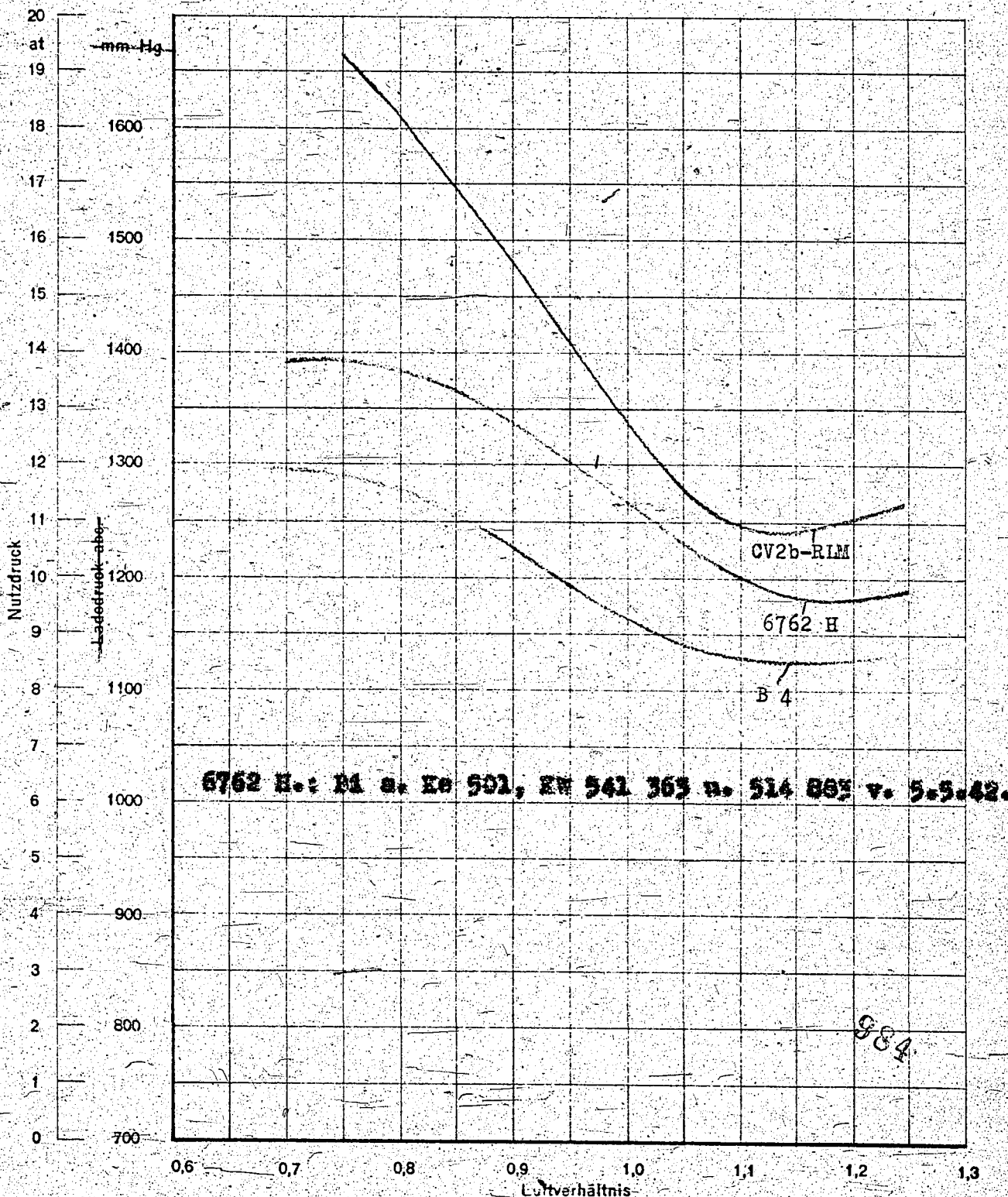
Versuch Nr.:

3. Prüfkraftstoff: B 4, Br.2294

Versuch Nr.: 395

4. Prüfkraftstoff:

Versuch Nr.:



I.G. Farbenindustrie Aktiengesellschaft
Ludwigshafen a. Rh.
Name
Tag

zur Kraftstofferprobung Nr. 264 v.
Urheberrechtsschutz nach DIN 34 15.5.42

T.Pr.S. 2190

(17) 16. Juni 1941. / Pf

Aromatisierung von Braunkohleverflüssigung
bei 540 atm über Bleicherdekontakt.

Zusammenfassung:

Bei der 540 atm-Aromatisierung von Sumpfabstreifer und Sumpfmittelöl über 165 aus mitteldeutscher Braunkohle (Leuna) über einem Kontakt auf Bleicherdebasis wurden folgende Zahlen erhalten

	Braunkohle	Steinkohle
Ausgangsöl	Sumpfabstreifer (17,5% -165°)	Sumpfmittel-öl >165°
Durchsatz	1,5	1,1
Benzinleistung	0,69	0,50
(Benzinneuleistung)	(0,44)	
Vergasung / Bi + V	19,5	21
Benzin		
ß - 100°	40	56
Endpunkt	165	165
Gew.% Aromaten	30	37
O.Z. Res.-Meth.	80	84
M.M./M.M. + 0,12 Pb	72/88	74/89
Restbenzin 1)		
O.Z. Mot.-Meth.	62,5	66
Benzingqualität (geschätzt)	Im Minimum schlechter als E4	Im Minimum wie E4 Gutes Gx

1) Aus den Daten der angehängten Tabelle auf 50 β - 100° und 165° Endpunkt umgerechnet.

Zur Erzeugung von Hochleistungskraftstoff aus den erhaltenen Benzinen kame Dehydrierung der Anteile über 100° (40 % des Benzinknalls) in Frage, worüber noch genauere Unterlagen beschafft werden sollen.

Mit dem gleichen Kontakt war bei Braunkohleverflüssigung bei 20 atm die Leistung schlecht.

Versuchsterlauf.

Braunkohleverflüssigung Leuna wurde bei 540 atm Gesamtdruck (entsprechend einem Wasserstoffpartialdruck von etwa 525 atm am Ofeneingang) unter Aromatisierungsbedingungen über einen Kontakt auf Bleicherdebasis (K 7978) verarbeitet und zwar

- 1) Gesamtumlaufbetrieb (mit 17,5 % - 165°) mit Durchsatz 1,5
- 2) Sumpfmittelöl > 165° allein mit Durchsatz 1,1 kg/Ltr. Kontakt u. Std.

Die sonstigen Fahrbedingungen waren

Öfenvolumen	1,78 Ltr.
Temperatur	26, MW = 500°C
Gasmenge	3 cbm/kg Öl
Frischöl/Rückführung	60 : 40
Kontakt	7978, Schüttgewicht 0,56.

Es wurde der uns von Dr. K. Winkler - Welheim Ende Januar dieses Jahres zugesandte Kontakt verwandt, der Zn und Cr neben etwas Mo auf HF-behandelter Bleicherde enthält. Der Kontakt war vor Verarbeitung der Braunkohleverflüssigung schon 1600 Stunden mit verschiedenen Einspritzprodukten in Betrieb gewesen. Die Ergebnisse mit Braunkohleverflüssigung können, insbesondere hinsichtlich Benzin-Leistung, Vergasung und Aromatenbildung, mit Ergebnissen bei der Verarbeitung von Scholvener Verflüssigung (mit und ohne Sumpfbenzin) zwischen der 900. und 1600. Betriebstunde verglichen werden. Hierzu ist allerdings zu bemerken, daß die Steinkohleverflüssigung in der genannten Fahrperiode teilweise bei 450 atm

verarbeitet wurde, daß der Einfluß des Druckes zwischen 450 und 540 atm aber nur gering ist. Die Aktivität des Kontaktes war während der Verarbeitung des Steinkohleproduktes bemerkenswert konstant, jedoch scheint eine geringe Schädigung der Aktivität durch die Verarbeitung des Braunkohleproduktes nicht ausgeschlossen, da bei der anschließenden Verarbeitung von Verflüssigung aus Oberschlesischer Kohle eine etwas geringere Benzinleistung erhalten wurde als mit Scholvener Verflüssigung, obwohl anzunehmen ist daß sich beide Steinkohleprodukte gleich gut verarbeiten lassen.

Nach Verarbeitung der Verflüssigung aus Oberschlesischer Kohle, über die gesondert berichtet wurde¹⁾, wurde unter Zurücknahme des Druckes auf 200 atm erneut auf Braunkohleverflüssigung umgestellt. Unter diesen extremen Bedingungen ist eine Verarbeitung mit diskutabler Benzinleistung nicht mehr möglich.

Ergebnisse bei 540 atm (vgl. Tab. 1 und 2).

1) Verarbeitung des Gesamtsumpfabstreifers (S-Mittelöl + S-Benzin).

In einer 6-tägigen Fahrperiode betrug die mittlere Leistung an 165er Benzin 0,6 bzw. die Benzinneuleistung unter Berücksichtigung des im Frischöl enthaltenen Sumpfbenzins (17,5 % - 165') 0,45 kg/Ltr. Kontakt u. Std. Das Benzin wurde unstabilisiert untersucht; es enthält noch etwa 4 % Butan gelöst und hatte im Zufolge einen zu hohen Dampfdruck von fast 0,6 atm. Es enthält 40 % - 100° und etwa 30 Gew.% Aromaten. Hieraus läßt sich in Zusammenhang mit der Restbenzinoktazahl von 63 nach Mot.-Metode das Überladeverhalten des Benzins abschätzen. Im Minimum ist danach das Benzin schlechter als B₄; im Maximum etwas besser. Da das Benzin durch Entbutanisieren noch etwas verschlechtert würde, müßte es erheblich tiefer abgeschnitten werden (145-150%) damit man auch im Minimum B₂-Qualität erreicht. Voraussichtlich könnte man durch Dehydrieren der Anteile über 100° und Zusätzen der Anteile unter 100° CV₂b oder C₃-Qualität erreichen. Diese Verarbeitungsweise soll noch, vor allem hinsichtlich Ausbeute näher geprüft werden.

1) Vgl. Bericht 18 799; Dr. Reitz v. 29.5.41.

Die Vergasung (C_1-C_4 bezogen auf Benzin + Vergasung) war mit im Mittel 19,5% in Anbetracht des geringen Aromatengehaltes relativ hoch. Allerdings besteht die Vergasung zu fast 50 Vol.% aus Butan, dieses wiederum zu etwa 35% aus iso-Butan. Auf neu gebildetes Benzin bezogen beträgt die Vergasung etwa 25% und ist somit höher als bei der Verarbeitung von Sumpfmittelöl allein (etwa 21% s. o.) zum Unterschied von der Aromatisierung von Steinkohleverflüssigung über dem gleichen Kontakt (vgl. Ber. 18 799; Dr. Reitz v. 29.5.41), wo die Vergasung auf umgesetztes Mittelöl bezogen anscheinend durch S-Benzinzusatz nicht wesentlich geändert wird, wenn gleichzeitig der Durchsatz erhöht wird.

Das Benzin hatte einen guten Bombentest. Auffallend ist der hohe Kupferschalenwert, der aber ebenso wie die hohe Jodzahl des Benzins dem verwandten Kontakt und nicht dem Ausgangsöl zugeschrieben ist. Das B-Mittelöl ist gegenüber dem Ausgangsöl schwach aufhydriert (A.P. + 16 gegenüber + 11°). Eine Aromatenzerlegung ergab etwa 30% Toluol in den Aromaten.

2) Verarbeitung von Sumpfmittelöl > 165°.

Die Ergebnisse sind denen der Verarbeitung des Gesamtabstreifers weitgehend ähnlich, wie nach dem nur geringen S-Benzin gehalt des Abstreifers (17,5% - 165°) zu erwarten war. Unterschiede bestehen im folgenden:

Benzinleistung bei Durchsatz 1,1 0,46 - 0,51 gegenüber 0,60 bzw. Neuleistung 0,44 bei Gesamtstreifer und Durchsatz 1,5; Aromaten 37 Gew.% gegenüber 30, Vergasung 19,7 - 22% gegenüber 19,5 bzw. 25 bezogen auf Neuleistung; Restbenzinoktanzahl für ein Restbenzin mit 50% bis 100° etwa 65 gegenüber 63; Butanhalt der Vergasung etwas geringer (33% gegenüber 48); Überladeverhalten (geschätzt) im Minimum wie B_4 . Die Oktanzahlen des Benzins liegen entsprechend seinem höheren Aromatengehalt etwas höher (Res.-Methode 84 gegenüber 80; bei Motor-Methode sind die Unterschiede geringer und unsicher¹⁾). Die geringeren Unterschiede in % - 100, Jodzahl und iso-Butanhalt im Butan sind wahrscheinlich nur zufällig.

1) Herr Dr. Dehn hält bei der großen Diskrepanz der Bleiwerke die hauptsächlich ihre Bestimmung an verschiedenen Motoren sowie vor und nach den an diesen vorgenommenen Änderungen (vgl. Ber. 18 599; Dr. Dehn v. 1.5.41) zurückzuführen sind, die Mittelwerte von 89 (ohne S-Bi) bzw. 88 (mit S-Bi) für am wahrscheinlichsten.

3) Vergleich mit der Verarbeitung von Steinkohleverflüssigung 1).

Bei der Verarbeitung von Steinkohleverflüssigung unter gleichen Bedingungen werden infolge der anderen Zusammensetzung Aromaten- und Naphthen-reichere Benzine erhalten, die also sowohl auf Grund ihres Aromatengehaltes als auch ihres naphthenischeren Restbenzines den Benzinen aus Braunkohleverflüssigung an Qualität erheblich überlegen sind. Im übrigen ist bei den Braunkohleprodukten die Leistung höher als bei den Steinkohleprodukten (ohne S-Benzin ~0,5 gegenüber ~0,4; mit 25 % S-Benzin ~0,65 (geschätzt gegenüber ~0,55), die Siedekurven von Benzin und B-Mittelöl sind für beide Produkte ähnlich, ebenso ist der Raffinationsgrad der Benzine ähnlich. Die Höhe der C₁-C₄-Vergasung (bezogen auf B1 + Vergasung) ist für Braunkohle praktisch ebenso hoch wie für Steinkohle (~20% bei Verarbeitung von Mittelöl allein), indessen enthält die Vergasung bei Braunkohle erheblich mehr Butan als bei Steinkohle (fast 50 gegenüber 30 Vol.-%) bei gleichem Isomerisierungsgrad des Butans.

4) Verarbeitung von Braunkohleverflüssigung bei 200 atm.

Um zu prüfen, ob der Kontakt möglicherweise auch für die Leunaer Verhältnisse (200 atm Druck) in Frage käme, was indessen bei der als Kontaktträger verwendeten Bleicherde nicht sehr aussichtsreich erschien, wurde eine Fahrperiode bei 200 atm angeschlossen (2180. bis 2280. Betriebsstunde), wonach der Kontakt ausgebaut wurde. Mit Durchsatz 1,0 und im übrigen gleichen Fahrbedingungen wie in der 540 atm-Fahrperiode wurde mit Gesamtahstreifer eine 165er Benzinleistung von nur 0,22 (Neuleistung 0,11) bei 21,5 % Vergasung und mit Sumpfmittelöl > 165° eine Leistung

1) vgl. Ber. 18 799, Dr. Reitz v. 29.5.41

von nur 1,11 bei 25,5 % Vergasung erhalten. Die B-Mittelöle sahen dabei schlecht aus und enthielten noch etwa 4 % Phenole. Die Benzine waren in ihrem Aromatengehalt ähnlich wie bei 540 atm, hatten aber erheblich schlechtere Jodzahlen (~ 25) und bei Verarbeitung des Mittelöls allein weniger % - 100° (nur etwa 20 % - 100°). Eine Verarbeitung bei so niedrigem Druck wie 200 atm ist nach diesen Ergebnissen nicht möglich.

gez. Reitz.

Gemeinsam mit

Dr. Donath
" Sonnenmacher
" First
" Lajus
" Meier
" Dahn.

2 Tabellen.

990

Tabelle 1.

Ofen 308 / III

1780 cc Kontakt 7978 = 1000 g

	Sumpfabstreifer			S-Mittelöl			
Datum	22.4. ab 1665	25.4. a 1729	22.- 25.4. --		27.4. ab 1785	28.4. ab 1809	27.-- 30.4. --
Druck atm	Aus-gangs-materi-al	540 26,5	540 26,5	Sammel-benzin	Aus-gangs-materi-al	540 26,5	540 26,5
Temp. NV.							
Durchsatz kg/Ltr./Std.		1,52	1,52		1,12	1,12	
% Frischöl com Gas/kg Öl		60 3	60 3		60 3	60 3	
Benzinkonzentr.%		48,3	47,3			47,5	53,4
Leistung (Neu-leistung)		0,62 (0,46)	0,58 (0,42)			0,46	0,51
Vergas./Bi+V (bez. auf Neu.)		18,5 (23,4)	20,7 (26,4)			22,0	19,7
● C ₄ /C ₁ -C ₄		43	54,3				32,6
% Iso-C ₄ /C ₄		34,2	34,7				28,8
<u>Benzin:</u>							
Spez.Gew./20°C	P 1251	0,752	0,748	0,760	P 1251	0,756	0,765
A.P. I °C	v. 23.2.	32 56	430,4 56,2	428,2 56	>165°	+23,5 55	+20 55,3
" II "					v. 23.4.	39	32
Siedebeginn	41	43	33	43	41	41	41
% - 70		8	13	11	12	11	9,5
% - 100		35	42	40	39	35	36
% - 150		83	86,5	87	89	77,5	84
Endpunkt °C	170	165	164	164	175	175	166
Dampfdruck atm	--	--	0,57	--	--	--	0,58
<u>Zus. Gew.% :</u>							
Paraffine		36,5	36	36	33	31,5	31
Naphthene		32	30,5	31	31,5	30	30
Aromaten		28	29	31	34	37	37
Ungesättigte		2,5	2,5	2,0	(1,5)	1,5	2
Jodzahl		13,4	--	15,7	--	10,3	13,6
O.Z.: Res.-M.			79,5	80	--	84	84
M.M./H.M.+0,12Pd		72,5/ 86,3	71,5/ 85,1	72,5/ 72,2	--	72,5/ 87,4	75/ 91,8 ²⁾
<u>B-M-Ök:</u> Spez.Gew. 0,900	0,884	0,882		0,943	0,884	0,882	
A.P. °C	+ 11	+ 16,5	+ 16,2	+ 8	+ 14	+ 15	
Siedebeginn °C	62	195	192	180	190	192	
% - 200	28	3	5,5	3,5	12	4	
% - 250	53,5	74	75	47,5	78	76	
% - 300	82	93,5	94	86,0	96	95	
Endpunkt °C	329/97	320	319	325	312/99	312/98	
Phenole	0,75	--	--			1,5	
<u>Restbenzin:</u>							
% - 100°C		50	52	47		45	45
Endpunkt °C		162	165	165		170	169
O.Z. Met.		63/86,5	52,7/86	61,5/85,5		65,2/87,5	63,5/87,3
E. Test Abfall atm	0	0	0				0
Glasch. vorher	3,7	5,9	0,6				2,1

Tabelle 1.

Ofen 303 / III 1780 cc Kontakt 7978 = 1000 g

	Sumpfabstreifer			S-Mittelöl			
Datum	22.4. ab 1665	25.4.a 1729	22.- 25.4. —		27.4. ab 1785	28.4. ab 1809	27.- 30.4. —
Druck atm	Ausgangsmaterial	540 26,5	540 26,5	Sammelbenzin	Ausgangsmaterial	540 26,5	540 26,5
Temp. MV.							Sammelbenzin
Durchsatz kg/Itr./Std.		1,52	1,52			1,12	1,12
% Frischöl com Gas/kg Öl		60 3	60 3			60 3	60 3
Benzinkonzentr.%		48,5	47,5			47,5	53,4
Leistung (Neuleistung)		0,62 (0,46)	0,58 (0,42)			0,46	0,51
Vergas./Bi+V (bez. auf Neu.)		18,5 (23,2)	20,7 (26,4)			22,0	19,7
C ₄ /C ₁ -C ₄		43	54,3				32,6
% 1H0-C ₄ /C ₄		34,2	34,7				28,8
Benzin:							
Spz.Gew./20°C	P 1251	0,752	0,748	0,760	P 1251	0,756	0,765
A.P. I °C	v.	+ 32	+ 30,4	+ 28,2	> 1650	+ 23,5	+ 20
" II "	23.2.	56	56,2	56	v. 23.4.	55	55,3
Siedebeginn	41	43	33	43	39	32	41
% - 70		8	13	11	41	12	11
% - 100		35	42	40	39	35	36
% - 150		83	86,5	87	89	77,5	84
Endpunkt °C	170	165	164	164	164	175	166
Dampfdruck atm	—	—	0,57	—	—	—	0,58
Zus. Gew.% :							
Paraffine		36,5	36	36	33	31,5	31
Naphthene		32	30,5	31	31,5	30	30
Aromaten		26	29	31	34	37	37
Ungesättigte		2,5	2,5	2,0	(1,5)	1,5	2
Jedzahl	13,4	—	15,7	—	—	10,3	13,6
O.Z.: Res.-M.	—	79,5	80	—	—	84	84
M.H./M.M.+0,12Pd	72,6/1) 86,1)	71,5/	72,5/	—	—	72,5/	75/
B-M-Öl: Spz.Gew. 0,900	0,884	0,882	—	0,943	0,884	0,882	—
A.P. °C	+ 11	+ 6,5	+ 16,2	+ 8	+ 14	+ 15	—
Siedebeginn °C	62	195	192	180	190	192	—
% - 200	28	3	5,5	3,5	12	4	—
% - 250	53,5	74	75	47,5	78	76	—
% - 300	82	93,5	94	86,0	96	95	—
Endpunkt °C	329/97	320	319	325	312/99	312/98	—
Phenole	0,75	—	—	—	—	1,5	—
Restbenzin:							
% - 100°C	50	52	47	—	—	45	45
Endpunkt °C	162	165	165	—	—	170	169
O.Z. Mot.	63/86,5	52,7/55	61,5/85,5	—	—	65,2/87,5	63,5/87,5
B. Test Abfall atm	0	0	0	—	—	0	—
Glasch. vorher	5,7	5,9	0,6	—	—	2,1	—
Cu-Schale mg nachher	52,5/	52,9/22,6	53,6/33	—	—	42,0/4,3	—
Überladung	47,4	15,2	43,4	(523) H	—	49,0	(523) H

1) Bestimmt am I.G.-Motor vor 1.5.41) vgl. Ber. 18 5991 Dr. Dahn vom
 2) " " CFR " nach " 1.5.41

Tabelle 2.

Weitere Eigenschaften der Sammelbenzine¹ (vgl. Tab. 1).

		aus S-Mittelöl + S-Benzin (22. - 25.4.41)	aus S-Mittelöl (27. - 30.4.41)
Gesamt- benzin	Doktor-test % C % H	negativ) (1804 H)	negativ (1805 H)
Rest- benzin	Gew. % Spez. Gew./20°C A.P. I/II Siedebeginn % ~ 70 % ~ 100 % ~ 150 Endpunkt % Paraffine % Naphthenes % Aromaten % Ungesättigte O.Z. (CFR) : Res.-Neth. H.H./M.M. + C, 12Fb	68,5 0,722 + 55,2 / 56,8 41 14 47 88,5 165 52 45 2 1 61 61,5/85,5	62,0 0,726 + 54,1 / + 55,3 38 15 45 84,5 169 50 47,5 1,5 2 63,5 63,5/87,3
Extrakt (Aroma- ten- zer- legung)	Gew. % Spez. Gew./20°C A.P. % Benzol % Toluol % Xylol % höh. Aromaten	31,5 0,872 - 60,7 18 31 30,5 20,5	38,0 0,873 - 61,5 18,8 30,7 28,5 22

592

Hochdruckversuche
Lu 553

Tropo &
⑮

5. März 1942

Gth/Ki

Zurück an
Vorzimmer Dir. Dr. Pier

Prüfung neuer Vorhydrierkontakte.

Zusammenfassung.

Teilweiser Ersatz des Al_2O_3 im Tonerde-W-Ni-Vorhydrierkontakt durch ZnS bringt keinen Vorteil.

Im Bericht 19841 i (Gth., 161.1942) wurden Ergebnisse von Versuchen mit neuen Vorhydrierkontakten mitgeteilt. Die Kontakte bestanden aus Tonerde-Terrana- bzw. ZnS-Terrana-Mischträgern mit aufgetränktem WS_2 bzw. $\text{MoS}_2 + \text{NiS}$. Auf Grund dieser Ergebnisse wurde noch eine Versuchsreihe mit Kontaktanlagen, die aus Tonerde-ZnS-Mischträgern mit aufgetränktem $\text{WS}_2 + \text{NiS}$ bestanden. Die Träger enthielten dabei 0, 10, 25, 33, 50, 67, 75, 90 und 100 % ZnS (keat Al_2O_3); darauf waren jeweils 150 g WO_3 und 28 g NiO_3 aufgetränkt und die Kontakte geschwefelt worden. Der Kontakt mit 100 % Al_2O_3 als Träger ist der 7846 W 150.

Sämtliche Kontakte dieser Reihe haben ziemlich hohe Hydrieraktivität und zeigen bei diesen kurzen Versuchen kein Abklingen. Die Hydrierwirkung nimmt mit steigendem ZnS-Gehalt (und fallendem Al_2O_3 -Gehalt) im Träger schwach und gleichmäßig ab (von Anilinpunkt 43 auf Anilinpunkt 39); im selben Sinn, aber wesentlich stärker, nimmt auch die Raffinationswirkung ab (von 0,005 auf 0,022 % N im Mittel 51). Schon bei dem Kontakt mit 50 % ZnS im Träger ist die Raffinationswirkung (0,013 % N) ungenügend.

Bei 3 Versuchen, die gleichzeitig in einem Bleibad eingesetzt waren (Kontakte mit 0 bzw. 90 bzw. 100 % ZnS) versagte die Temperaturregelung und die Temperatur des Bades stieg in 5 Stunden bis auf $31 \text{ MV} = 576^\circ\text{C}$ an. Nach Wiedereinstellung von $22,5 \text{ MV} = 434^\circ\text{C}$ zeigte sich, daß der reine Al_2O_3 -W-Ni-Kontakt durch die hohe Temperatur nicht an Aktivität eingebüßt hatte, wohl aber die ZnS-haltigen Kontakte. Diese ergaben vor der Temperaturstörung B-Mittelöl mit Anilinpunkt 35 bzw. 38, hinterher 21 bzw. 24.

Die Ergebnisse der Versuche sind auf der Tabelle und dem Kurvenblatt im einzelnen wiedergegeben.

gez. Günther

gemeinsam mit

Dr. Peters	Dr. v. Fürner
Dr. Graßl	Dr. Fürst
Dr. Rotter	
D.Ch. Trofimow	

894

Tonerde-ZnS-Kontakt mit 150g SO₃ und 26g Ni₂S₃ pro Liter, geschießelt.

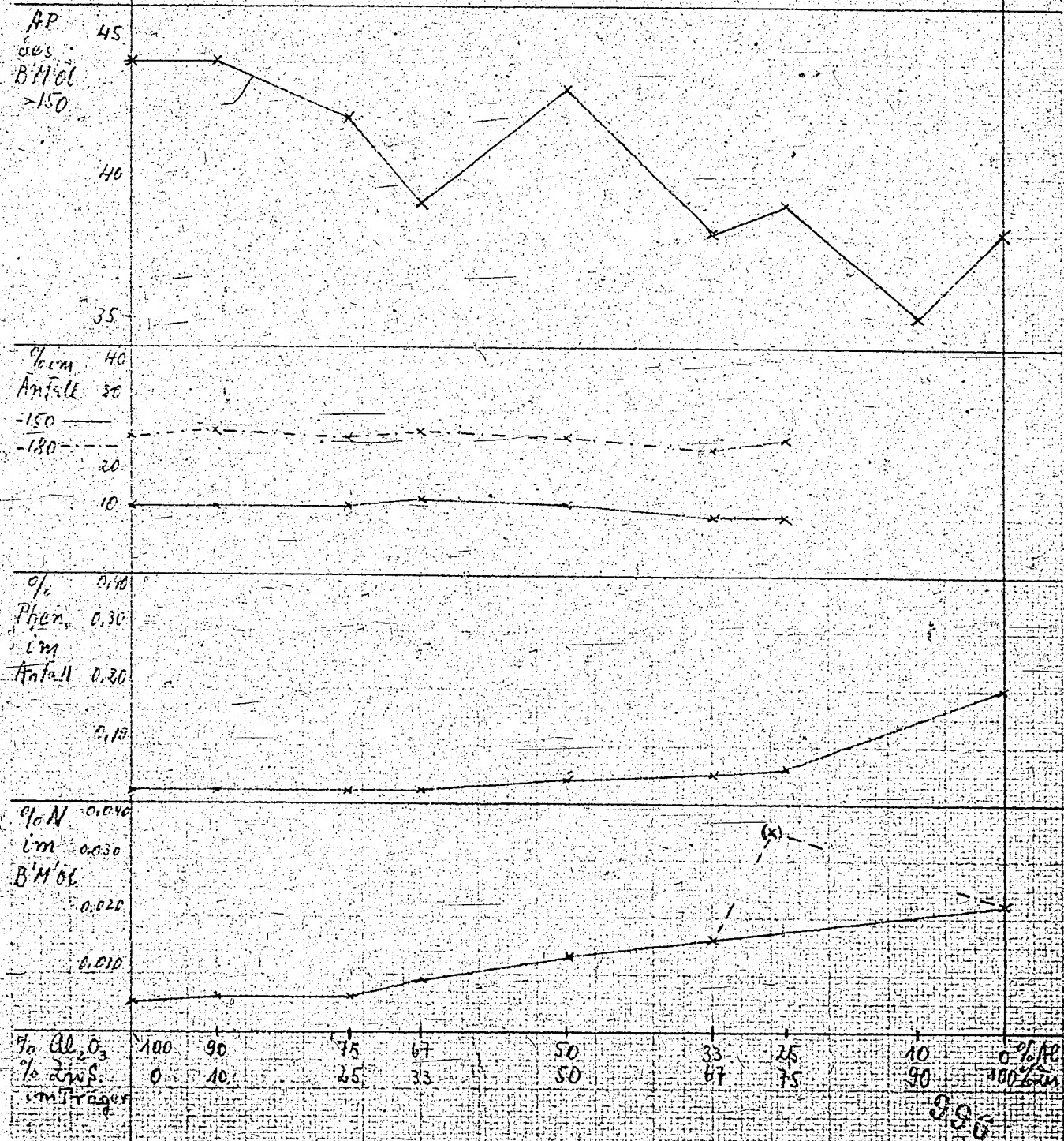
Vers. Nr.	Kont.Träger SAl ₂ O ₃	Kont. Nr.	Anilinp.Amfall 1.Tag	2.	3.	4.	S.B.	Größere Unterschung					% N	AP>150	
								% -150	-180	-225	-300	S.E.			
340	100	9	8692	43	42	x) 43	110	12	24	52	97	305	0,02	0,005	ca 44 = 7846 w 150
325	90	10	8677	46	41	45	41	112	12	25	52	97	303	0,02	0,006
326	75	25	8678	40	42	42	39	112	12	24	50	96	310	0,02	0,006
327	67	33	8679	31	36	40	38	106	13	25	52	97	308	0,02	0,009
330	50	50	8684	39	41	44	42	112	12	24	51	97	308	0,04	0,013
331	33	67	8685	def.	36	-	37	115	10	22	47	95	315	0,05	0,016
332	25	75	8686	33	34	36	38	117	10	24	49	96	315	0,06	0,035
337	10	90	8690	31	35	x) 21	-	-	-	-	-	-	-	-	ca 35
339	0	100	8691	39	38	x) 24	-	-	-	-	-	-	0,20	0,022	ca 38

x) Temperatur-Störung.

CG
CG
C7

Korhydrierung mit SonarSe-ZnS-W-Ni-Kontakten

Spann-Blubbadöfen, 22.5 MV, 2500 AT, Qu 0,8



Hochdruckversuchs
Lu 558

19

18. Februar 1942. Rtz/Pf.

Zurück an
Vorzimmer Dir. Dr. Pier

Einfluß der Schwefelung bei der einstufigen 600 atm-Benzinierung von Steinkohleverflüssigungsmittelöl mit Terranakontakt.

Zusammenfassung.

Zugabe von Schwefel zur Einspritzung entsprechend einer Erhöhung des S-Gehaltes von 0,02 auf 0,2 % senkt den Aromatengehalt des Benzin - 165° von über 30 auf ca. 20 Gew.% bei gleichzeitiger Erhöhung der Benzoleistung von 0,40 auf 0,46 und des B-Mittelöl-Anilinpunktes von ca. + 15°C auf + 37°. Die Siedekurve des Benzin bleibt unverändert die Vergasung ändert sich nur wenig (möglicherweise geringe Zunahme, die hauptsächlich in einer Zunahme des Butans besteht). Bei noch stärkerer Schwefelung wird der Effekt noch etwas verstärkt. Bei beabsichtigter Dehydrierung des Benzin würde sich daher in der Großtechnik Entschwefelung des Kreislaufgases empfehlen.

Gelegentlich eines Dauerversuches zur einstufigen 600 atm-Benzinierung (milden Aromatisierung) von Steinkohleverflüssigungsmittelöl mit K 7421 (Terrana BF, 20 ZnS, 1 MoO₃) im 1 Ltr.-Ofen wurde beobachtet, daß die Schwefelung des Einspritzöles von außerordentlich starkem Einfluß auf den Wasserstoffgehalt des Produktes (Aromatengehalt des Benzin, A.P. des B-Mittelöls) ist. Über diese Beobachtungen soll hier getrennt von den übrigen Ergebnissen des Versuches berichtet werden. Vor der hier beschriebenen Fahrperiode war der Ofen bereits 990 Stunden mit Scholvener Mittelöl in Betrieb gewesen und zwar anfangs bei 22,5 MV ohne Schwefelung der Einspritzung, seit der 680. Betriebsstunde mit Zusatz von 0,2 % CS₂. Gleichzeitig mit der Schwefelzugabe war die Temperatur auf 24 MV erhöht worden, wobei der Aromatengehalt des Benzin von 30 auf 21 Gew.% zurück ging, der Anilinpunkt des B-Mittelöls von ca. + 13° auf ca. 28° anstieg. Es war daher nicht klar, ob diese Zunahme des Wasserstoffgehaltes eine Folge der Temperaturerhöhung oder der Schwefelzugabe war. Diese Frage wurde daher näher geprüft und zwar unter folgenden Bedingungen (vgl. Tabelle und Kurvenblatt):

19964

- 2 -

997

Druck : 600 atm (ca. 585 atm H₂-Partialdruck am Ofeneingang)

Temperatur: 23,5 MV (451°C)

Durchsatz : 1,2 kg/Ltr. Kont. u. Std. K 1242-S-M'Öl
v. Ka 304 + Rückführung des B-M'Öls (60 bzw. 50% Frischöl)

Gasmenge : 2 cbm/kg Öl.

- CS₂-Zusatz : 1. Fahrperiode 0,2 % zur Einspritzung
2. " " ohne CS₂, 90 Stdn.
3. " " 0,5 %, 50 Stdn.
4. " " CS₂, 50 St

Während dieser einzelnen Fahrperioden hatte sich der jeweils neue Gleichgewichtszustand, wie aus dem Kurvenblatt zu ersehen ist, noch nicht völlig eingestellt, sodaß der Effekt der Schwefelung noch etwas größer sein dürfte als er hier beobachtet wurde. Aus der folgenden Gegenüberstellung ist der Schwefeleffekt im Einzelnen zu entnehmen:

	ohne Schwefelzugabe	mit 0,2% CS ₂	mit 0,5% CS ₂
S-Gehalt der Einspritzung einschl. Rückführöl	ca. 0,02 %	0,19 %	0,44 %
Benzinleistung (Endpunkt 165°)	0,40	0,46	0,52
Gewichts-% Aromaten	30	22	20
" " Naphthalene	43	51	
" " Paraffine	26	28	
% - 100°	unverändert (~35)		
O.Z. Res.-Meth.	77	74	
Mot.-Meth./H.+0,12Pb	73,5/88	71,5/87	--
Vergasung	10,6	11,5	
Butangehalt der Vergasung	~50	~55	
A.o.P. B-Mittelöl	<+ 17	+ 37	>+ 34

Die Unterschiede in Höhe und Zusammensetzung der Vergasung sind etwas unsicher, da sie durch eine zu geringe Analyzenzahl belegt sind. Die Oktanzahlen sind bei dem ohne Schwefelzugabe hergestellten Benzin um einige Punkte besser als mit S-Zugabe und zwar bei gleicher

Siedekurve der Researchwert um etwa 3 Punkte, der Motorwert ohne-Blei 2,0 und mit Blei 10 Punkte entsprechend der geringeren Bleiempfindlichkeit der Aromaten. Der Einfluß auf die Jodzahl ist nicht eindeutig, eine Verschlechterung in Anwesenheit von S scheint nicht einzutreten. Zu den Produktuntersuchungen ist zu bemerken, daß, wie sich aus dem Vergleich der beiden untersten Zeilen der Tabelle ergibt, die Benzine etwas überstabilisiert wachsen. Die Gegenüberstellung von stabilisiertem und unstabilisiertem Benzin in der Tabelle erlaubt, den Einfluß der Überstabilisation auf Benzinsiedekurve und -Zusammensetzung abzuschätzen.

Gemeinsam mit

Dr. Donath,
" Nonnenmacher,
" Fürst
" Dehn.

gez. Reitz

1 Tabelle,
1 Kurvenblatt.

999

Tabelle 1.

Produktuntersuchungen.

Ofen 308/III

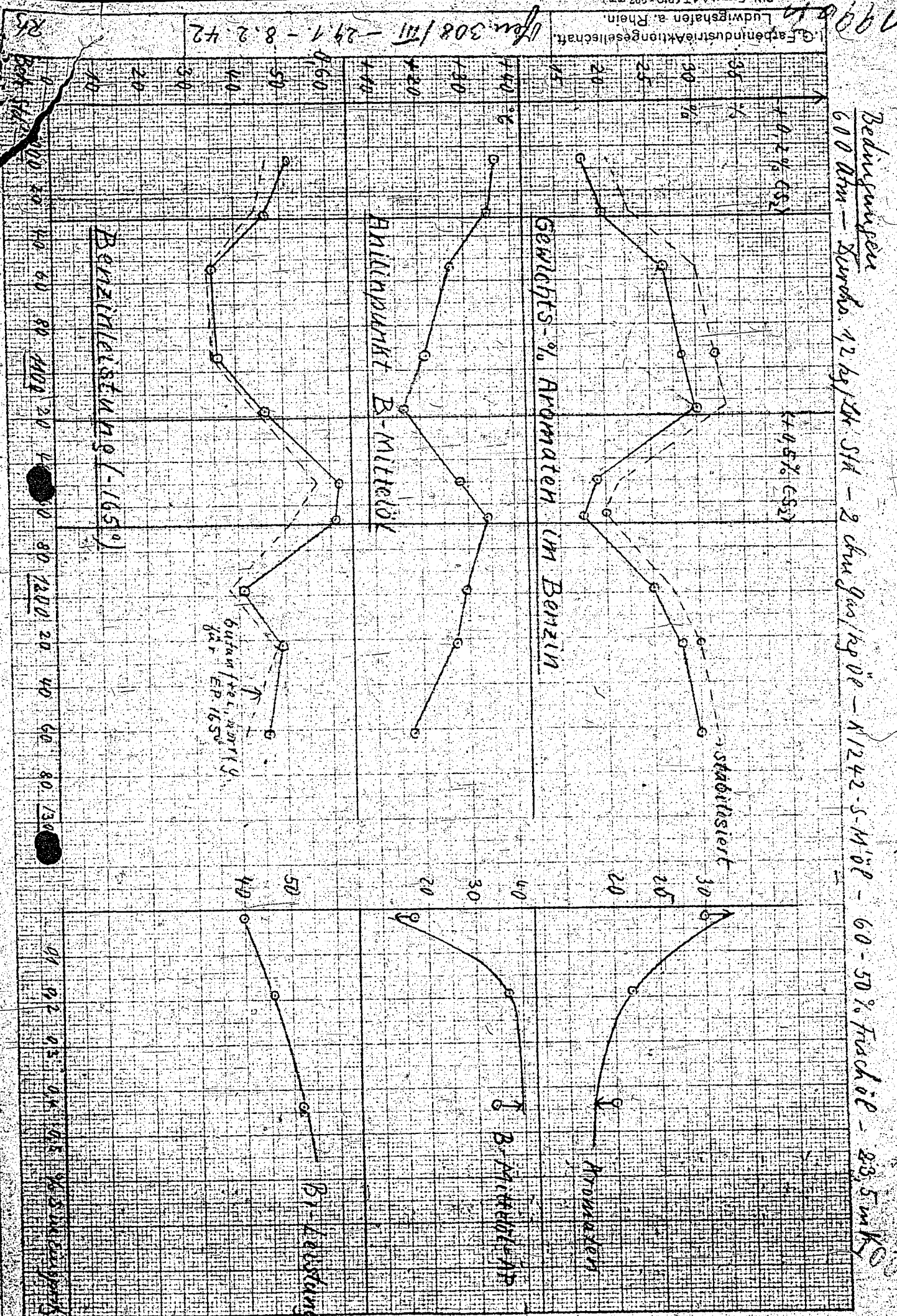
Kontakt 500 ccm 7421 = 490 g

Datum Betr.-Std.		29.1.80 1030	1.2.80 1094	4.2.80 1165	6.2.80 1222		8.2.80 1262
Druck atm	Ausgangs	600	--	--	--	--	--
Temp. HV	81	23,5	--	--	--	--	--
Durchsatz kg/Ltr./Std.	K 1242-S'M'Öl	1,2	--	--	--	--	--
% Frischöl v. Ka	60	50	--	--	--	--	--
cbm Gas/kg Öl	804 v. 10.10.	2	--	--	--	--	--
% P 471	41	0,2	0	0,5	0	--	--
Benzinkonzentration % Leistung		40,6 0,44	32,8 0,34	52,5 (45,5) ¹⁾ 0,58 (0,50) ¹⁾	42,2 0,48		40 0,45
Vergas./Bi+V		11,7	11,4	10,3 (11,7) ¹⁾	9,75		--
<u>Benzin stab.:</u>						(unstabilis.)	(unstab.)
Spez.Gew.		0,766	0,780	0,770	0,774	0,756	0,760
A.P. I	+ 30,8	+ 21,5	+ 34	+ 24,1	+ 26,5	+ 24	
" II	50,5	51	51	51,5	52	52	
100° API/II	(29,5/-)	(18,3/51)	(-)	(-)	(20/51,5)	(-)	
Siedebeginn	64	74	65	64	52	35	
% - 70	1,5	--	0,5	1	14	12	
% - 100	56	34	30 (35 ¹⁾)	38	43	36,5	
% - 150	88	90	78	91	88	81,5	
Endpunkt %	165/98	168/98	176/98	160/97,5	164/96	168/93,5	
Gasverlust %	0,8	1,0	1,0	1,5	2,5	5,0	
Dampfdruck	0,250	0,228	0,215	0,275	--	--	
Zus.: Paraffine	27	25	29	27	29	28	
Naphthalene	51	43	51	43	43	42	
Aromaten	22	32 ²⁾	20	30 ²⁾	28	30	
Ungesättigte	--	--	--	--	--	--	
Jodzahl	0,3	--	3,8	2,1	0,3 (100°)	--	
O.Z.: Res.-M. M.Mo./H.M. + 0,12 Pb	74 71,5/87	78 74/88,5	71,5 69/85	76 73/88	--	--	
<u>B-M'Öl:</u>							
Spez.Gew.	0,975	0,855	0,872	0,860	0,866	0,875	
A.P. °C	-19,5	+35,5	+21,92	+34,5	+27,52	+17,8	
Siedebeginn °C	162	190	184	195	195	194	
% - 200	2	24	9	2	8	5	
% - 250	35	82	79	81,5	80	80	
Endpunkt °C	93-325 98-324	300/98	305/98	310/99	315/99	320/99	
% gelöst.Gas im unstab.Bi		6,4	5,8	5,7	4,8		
Stabilit.-Verlust		6,3	8,8	8,4	8,6		

1) korrig. für BP 165°

2) Gleichgewichtswerte noch nicht erreicht.

100°



Index to Microfilm of Dr. M. Pier
XVIII Lubrication and Lubricants

	<u>Pages</u>
Data for Rumanian lube oil production	1 - 27
Today's conception of propane process	28 - 33
"Paraflow"	34 - 43
Literature survey of ethylene lube oils	44 - 47
Addition of sulfur to ester lube oils	48
Report on research on propylene lube oils	49 - 50
Patent situation on propane operations outside of Germany	51 - 78
Use of additives in auto lube oils	79 - 89
Calculations basis for hydrogenation aviation motor oil from propane operations	90 - 92
Making propylene greases	93 - 96
Production of aviation motor oil from Nargin oil	97 - 109
Drying oils by high frequency electric current	110 - 111
Concerning aviation motor oil	112 - 113
Hydrogenation of petroleum wax for lube oil synthesis	114 - 134
Test of lube oil	135 - 136
Synthetic Steam Cylinder oil	137 - 139
High Pressure research on synthetic lubes	140 - 145
On processing propylene to lube oil	146 - 149
Hydrogenation processing of hard wax (from Fischer-Tropsch) over 8376 at 250 atm	150 - 172
Synthetic aviation motor oils from alpha-olefins C ₆ - C ₁₈	173 - 197
Propylene lube oil	198 - 201
Steam cylinder oil by hydrogenation	202 - 204
Analysis of what constituents lubricating ability of an oil	205 - 213
Talk on synthetic steam cylinder oil	214 - 215
XIX Mechanical Data	
Sizing letdown vessels and bursting disk lines	216 - 220

XX Patents

Pages

Process for the concentration of oxidizing ores and polar "non-ores" thru flotation	221 - 224
Process for separating heavier oils into their components	225 - 228
Process for extraction of bituminous materials	229 - 231
XXI Physical Data and Phenomena, etc.	
Adsorption on solid substances	232 - 238
Use of electron diffraction on the investigation of gas adsorption	239 - 240
On the problem of ball lightning	241 - 246
Calculating the Joule Thompson effect for hydrogen	247 - 257
Abrasion and lubrication	258 - 260
On the Nernst Theorem	261
On the structure of fluids	262 - 263
Light absorption and constitution of some polycyclics	264 - 270
Roentgen investigation of Mo - Al ₂ O ₃ and active Al ₂ O ₃ catalysts	271 - 273
Research on new explosives	274 - 275
Stability of fluorides in presence of H ₂ S and H ₂ O in view of their catalytic action	276 - 278
Theory on the formation of higher hydrocarbons from methane in presence of sulfur or sulfur compounds	279 - 284
The problem of back-firing in large arc-rectifiers, and the collateral problems of anode material, dirtying electrodes, etc.	285 - 291
Literature survey on arsenic and its compounds	292 - 296
New knowledge in the field of the aluminum chloride synthesis	297 - 300
Exhaust temperature and combustion temperature with gasoline of more and less aromatic content	301
25 years of Nernt's Thermodynamics	302 - 304
Molecule models	305 - 308
Physico-chemical discussions at Göttingen	309 - 310
Catalyst research thru electron diffraction	311

XXI Physical Data and Phenomena, Etc.

Pages

Thermodynamics of Pyridene Synthesis after the Nernst approach formula	312 - 316
Today's knowledge of super-conductivity at low temperatures	317 - 319
Crystal chemistry of Silicates	320 - 329
Atomic structure of WS_2 and MoS_2 skeletons	330 - 334
Chronology of thermodynamics	335 - 338
A short basis for the electrochemical work of Nernst	339 - 343
Use of supersonic phenomena in practical chemistry	344 - 348
Fluorescent colors of several substances in paraffin oil with normal and ultraviolet light	349
Constitution of the hydrogenation products by light absorption (detection of coronene, pyrene)	350 - 352
Fluorescence and phosphorescence	353
Recovery of Pyridene	354 - 357
New researches into lignin chemistry	358 - 362
Synthesis of Acetic acid. Thermodynamic calculations	363 - 365
Possibility of reducing ice-fog formation in engine exhaust	366 - 374
Free radicals	375 - 388

XXII Properties of Materials

Isomeric Paraffins	389 - 402
Inspection of Pölitz fuel oil	403 - 408
Quality of Petroleum products	409
Quality of comparison of cracked and hydrogenated gasoline from bituminous coal B middle oil	410 - 432

XXIV Shale oil

Low pressure treatment of concentrate from Estonia shale	433 - 443
TTH operation on Lurgi carbonization tar from shale	444 - 456
The Rostin process	457 - 458
Autoclave work on Estonian shale	459 - 460

XXIV Shale Oil

Pages

Research on concentrating shale	461 - 464
Data for shale oil hydrogenation	465
Test on swedish shale	466 - 469
Concerning estonian oil shale	470 - 472
Ashfree bitumen from Estonian Shale flotation concentrate	473 - 474
Hydrogenation research on shales and shale concentrates	475 - 479
Concentrating the organic material in Estonian Shale	480 - 481
Autoclave treatment of Messel mine shale	482 - 483
Disassembly of the Estonian Shale oil industry	484 - 496

XXV Tar Hydrogenation, Etc.

Research report on running coal tar from bituminous coal at high thruputs to make excess heavy oil at 600 atm. in 10 liter converter, 1940	497 - 520
First Evaluation on hydrogenation of primary bitumen	521 - 523
Running the vacuum Distillate from the cold catchpot heavy oil at 600 atmospheres over fixed catalyst 8376 to produce Diesel oil with a low pour point	524 - 528
The Blumner pressure carbonization operation	529 - 531
Research with sulfur as liquid-phase catalyst in one liter converter	532 - 537
Research report on running Welheim pitch mixture at high rates to make excess heavy oil at 600 atmospheres in 10 liter converter	538 - 566
Research report on running Brux tar to gasoline and middle oil only at 600 and 250 atm in 10 liter converters	567 - 623
Research report on running topped Ruhr coke oven tar to gasoline and middle oil at 600 atm	624 - 662
Research report on running a mixture of topped coke oven tar to an excess of heavy oil in 10 liter converter	663 - 696
Research report on running low temperature carbonization pitch to heavy oil excess at 600 atm in 10 liter converter	697 - 730

XXV Tar Hydrogenation, Etc.

Pages

Research report on running a soft coal tar mixture for Politz at 600 atm to gasoline and middle oil	731 - 754
Research on some special bituminous materials	755 - 759
Running middle Germany brown coal tar at 600 atm	760 - 767
Talk on Brux tar conversion	768 - 769
Influence of available hydrogen and volatile on the low temperature carbonization tar yield and dependence of the hydrogenability on low temperature tar yield available hydrogen and volatile	770 - 772
Petroleum residue hydrogenation	773 - 776
Fuel oil from coke oven tar	777 - 779
Discussions on tar stalls feeding Brux tar	780 - 781
Tar processing	782 - 794
Working up Petroleum Pressure distillate over 7878 and 6434 to 87 grade fuel	795 - 807
Running Bohlen tar at 250 atm in 10 liter converter	808 - 812
XXVI Vapor Phase - Hydrogenation	
Relation between acid and basic constituents of middle oil from bituminous coal hydrogenation in the saturation step over alumina catalyst	812 - 817
Methyl cyclopentane from benzol or cyclohexane	818 - 820
Aromatization of middle oil from bituminous coal hydrogenation at 600 atm	821 - 824
New research (Jan. 1941) on saturation of middle oil from bituminous and brown coals over Mo catalysts in 1 liter converter	825 - 847
New saturation catalyst tests (Jan. 1942)	848 - 857
Hydrogenation of brown coal middle oil over Ruhrol catalyst	858 - 863
Hydrogenation of bituminous coal middle oil from upper Silesian coal in 1 liter converter: One-step conversion at 600 atm with and without DHD	864 - 890
Saturation and splitting of various raw materials available at Brux	891 - 903
Splitting of 8376-B middle oil from semi-technical plan in small scale plant.	904 - 909

XXVI Vapor Phase - Hydrogenation

	<u>Pages</u>
Hydrogenation of Benzol to Cylohexane	910 - 911
Shutdown of a vapor phase stall	912 - 913
Research on saturation of bituminous coal middle oil over 7846W250 catalyst	914 - 927
Research to refine aviation gasoline and other products over Al_2O_3 W-Ni Catalyst	928 - 936
Investigation run in small plant parallel to semitechnical work in stall 805. Long-time test of 600 atm splitting of middle ore over Fullers earth catalyst	937 - 950
600 atm aromatization of liquid phase oil from a Silesian coal compared with Scholven coal over cat. 7978	951 - 957
Splitting of DHD residues	958 - 984
Aromatization of brown coal hydrogenation ore at 540 atm over Fullers earth	985 - 992
Testing of new saturation catalysts	993 - 996
Effect of sulfurization during single stage 600 atm splitting of bituminous coal middle oil over Fullers earth	997 - 1001

T.O.

END

• O.M. REE

B.M. 39

EEL 253

39

